

1

In einem System von Kugelkoordinaten  $(r; \theta; \alpha)$  sind zwei Punkte durch die Koordinaten

$$\mathcal{P}_1 : (1, 0\text{m}; \pi/4; 0), \quad \mathcal{P}_2 : (1, 5\text{m}; 3\pi/4, \pi)$$

fixiert. Bestimmen Sie den euklidischen Abstand der beiden Punkte (Skizze!).

2

$\vec{f}$  und  $\vec{g}$  sind zwei stetig differenzierbare Vektorfelder. Drücken Sie das Hüllenintegral

$$\int_{\partial V} \vec{n} \cdot \vec{f} \vec{g} dA$$

koordinatenfrei durch ein Volumenintegral aus.

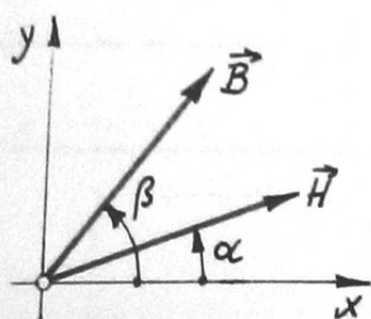
3

Ein stationäres Magnetfeld im leeren Raum ist in Kreiszyylinderkoordinaten durch das Vektorpotential

$$\vec{A} = K \cdot \ln(\varrho/a) \vec{e}_z, \quad K \text{ und } a \text{ const.},$$

gegeben. Bestimmen Sie für dieses Feld ein magnetisches Skalarpotential.

4

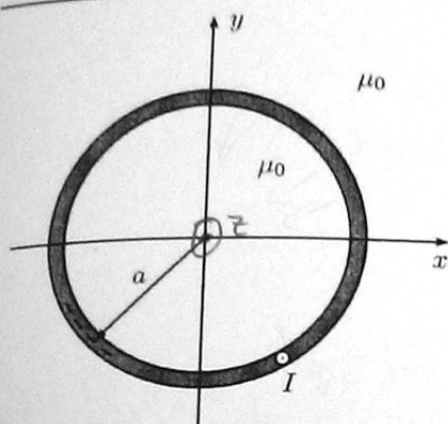


Ein anisotrop magnetisierbares Material besitze bezüglich ebener Magnetfelder in einem passend gewählten kartesischen Koordinatensystem die Darstellung

$$\underline{\underline{\mu}} = (500 \vec{e}_x \otimes \vec{e}_x + 1000 \vec{e}_y \otimes \vec{e}_y) \mu_0$$

des Permeabilitätstensors. Berechnen und skizzieren Sie den Verlauf des Winkels  $\beta$  als Funktion des Winkels  $\alpha$ .

5



Ein dünnwandiges Kupferrohr führt gleichförmig verteilt einen elektrischen Strom der Stärke  $I$ .

Berechnen Sie die längenbezogene Kraft, die das Halbrohr im Bereich  $x < 0$  auf das Halbrohr im Bereich  $x > 0$  ausübt. Entsteht in der Rohrwandung eine mechanische Druck- oder eine Zugkraft?

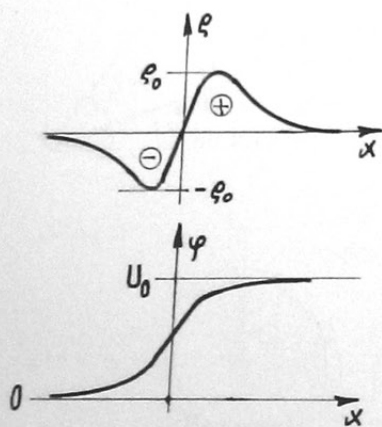
An einem ebenen, eindimensional modellierten pn-Übergang stellt sich die durch

$$\rho(x) = \rho_0 2 \frac{\sinh(x/a)}{\cosh^2(x/a)}$$

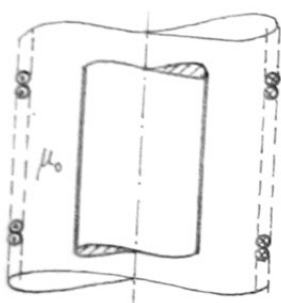
approximierte Raumladungsdichte ein. Berechnen Sie den skizzierten Verlauf des zugehörigen Potentials  $\varphi(x)$ . Nehmen Sie dazu eine einheitliche Permittivität  $\epsilon = \text{const}$  an und bestimmen Sie insbesondere den Zusammenhang zwischen  $\rho_0$  und  $U_0$

Hinweis:

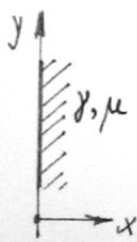
$$\int \frac{d\xi}{\cosh(\xi)} = \arctan[\sinh(\xi)] + \text{const}$$



Im Zuge einer Modelluntersuchung ergibt sich folgendes Problem: Im Punkt  $\mathcal{O}$  eines allseitig weit ausgedehnten Körpers der Permittivität  $\epsilon$  und der Konduktivität  $\gamma$  wird zum Zeitpunkt  $t = 0$  die Ladungsmenge  $Q_0$  injiziert. Berechnen Sie die Strom- und Ladungsverteilung in der Umgebung von  $\mathcal{O}$ .



Ein kreiszylindrisches Werkstück wird zur Aufheizung der Mantelfläche in eine kreiszylindrische Spule mit  $N' = 100$  Windungen / Meter geschoben und diese mit einem Sinusstrom  $I = 600$  A (Effektivwert) bei  $f = 100$  kHz gespeist. Nehmen Sie für das Werkstück  $\mu = \mu_0$ ,  $\gamma = 10^7$  S/m an und berechnen Sie den zeitlichen Mittelwert der oberflächenbezogenen Verlustleistung. Wegen der klein zu erwartenden Eindringtiefe  $\delta$  können Sie von dem ebenen Eindringmodell



$$\vec{H}(x, t) = \text{Re} \left\{ \hat{H} e^{-x/\delta + j(\omega t - x/\delta)} \right\} \vec{e}_y, \quad x \geq 0,$$

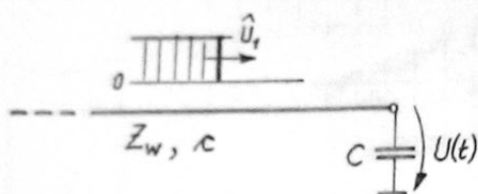
$$\delta = \sqrt{\frac{2}{\mu \gamma \omega}}$$

ausgehen.

Berechnen Sie die zu einer ebenen Sinuswelle im leeren Raum mit der elektrischen Feldstärke

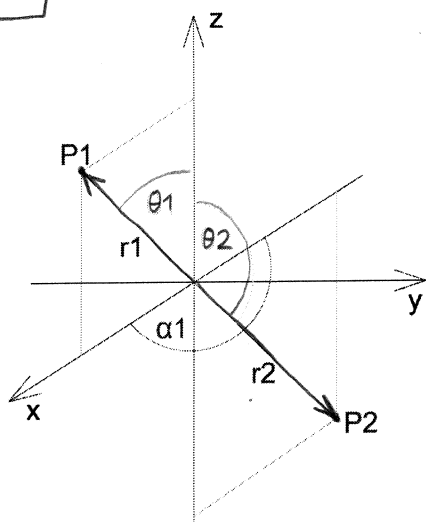
$$\vec{E}(z, t) = \hat{E} \cos[2\pi(t/T - z/\lambda)] \vec{e}_y$$

gehörende, mittlere Energieflußdichte.



Eine näherungsweise verlustfreie Leitung ist einem Kondensator abgeschlossen. Es fällt eine Sprungwelle mit dem Scheitelwert  $\hat{U}_1$  ein. Berechnen Sie allgemein den Zeitverlauf  $U(t)$  der Spannung am Abschluß.

1



$P_1(r_1, \theta_1, \alpha_1):$

$r_1 = 1\text{m}$

$\theta_1 = 45^\circ$

$\alpha_1 = 0^\circ$

$P_2(r_2, \theta_2, \alpha_2):$

$r_2 = 1,5\text{m}$

$\theta_2 = 135^\circ$

$\alpha_2 = 180^\circ$

aus Skizze: Abstand zw.  $P_1$  und  $P_2 = r_1 + r_2 = 2,5\text{m}$

2 mit Satz von Gauß:  $\int_V \vec{\nabla} \cdot \vec{f} dV = \int_{\partial V} \vec{n} \cdot \vec{f} dA \Rightarrow$

$$\int_{\partial V} \vec{n} \cdot \vec{f} \vec{g} dA = \int_{\partial V} \vec{n} \cdot (\vec{f} \otimes \vec{g}) dA =$$

$$= \int_V \vec{\nabla} \cdot (\vec{f} \otimes \vec{g}) dV = \int_V \vec{\nabla} \cdot \vec{f} \vec{g} dV = \int_V (\vec{g} \cdot \vec{\nabla} \vec{f} + \vec{f} \cdot \vec{\nabla} \vec{g}) dV$$

3  $\rightarrow \varphi_M = ?$

$\Rightarrow \vec{H} = -\vec{\nabla} \varphi_M$

mit  $\vec{A} = A_z(\rho) \vec{e}_z$

$\vec{B} = \mu_0 \vec{H}$

$\vec{B} = \vec{\nabla} \times \vec{A}$

$\Rightarrow \vec{H} = \frac{1}{\mu_0} \vec{\nabla} \times \vec{A} = \frac{1}{\mu_0} (-\vec{e}_\alpha \partial_\rho A_z) = -\frac{\vec{e}_\alpha}{\mu_0} K \frac{1}{\rho}$

überprüfen:  $\vec{\nabla} \times \vec{H} = \vec{0} ?$

$$\vec{\nabla} \times \vec{H} = -\frac{K}{\mu_0} \vec{\nabla} \times \frac{\vec{e}_\alpha}{\rho} = -\frac{K}{\mu_0} \left[ \vec{e}_z \frac{1}{\rho} \underbrace{\partial_\rho \left( \rho \frac{1}{\rho} \right)}_0 \right] = \vec{0} \checkmark$$

$\Rightarrow \vec{H} = -\vec{\nabla} \varphi_M$

$$-\frac{K}{\mu_0} \frac{1}{\rho} \vec{e}_\alpha = -\left( \vec{e}_\rho \partial_\rho \varphi_M + \vec{e}_\alpha \frac{1}{\rho} \partial_\alpha \varphi_M + \vec{e}_z \partial_z \varphi_M \right)$$

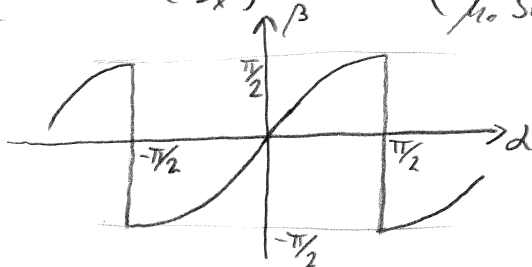
$\Rightarrow \partial_\alpha \varphi_M = \frac{K}{\mu_0} \rightarrow \varphi_M = \frac{K}{\mu_0} \alpha + C \quad | C = \text{const} = 0 \text{ o.B.d.A.}$

$\varphi_M = \frac{K}{\mu_0} \alpha$

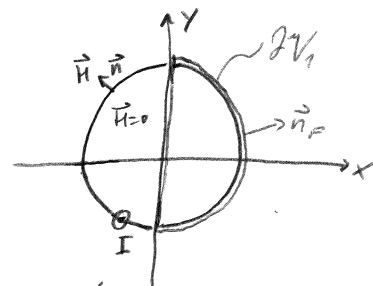
4  $\vec{H} = H_x \vec{e}_x + H_y \vec{e}_y$

$\vec{B} = \mu_0 \cdot \vec{H} = \mu_0 (500 \vec{e}_x \otimes \vec{e}_x + 1000 \vec{e}_y \otimes \vec{e}_y) \cdot (H_x \vec{e}_x + H_y \vec{e}_y) = \underbrace{\mu_0 500 H_x \vec{e}_x}_{B_x} + \underbrace{\mu_0 1000 H_y \vec{e}_y}_{B_y}$

$\beta = \arctan\left(\frac{B_y}{B_x}\right) = \arctan\left(\frac{\mu_0 1000 H_y}{\mu_0 500 H_x}\right) = \arctan(2 \tan(\alpha))$



5 dünnwandiges Rohr, I gleichförmig  
Rohr gedanklich trennen



Innen: DFS:  $V(\partial A) = I(A)$

→ im gesamten Innenraum keine Stromverteilungen

→ somit rechte Seite von DFS = 0

→ linke Seite:  $V(\partial A) = \int_{\partial A} H_s ds$  ... wegen hoher Symmetrie  
( $\partial A \rightarrow$  konzentrische Kreise um Nullpkt. in xy-Ebene)

diese genaue  
Erklärung bei mündl.  
Prüf. verlangt!

kann Projektion von  $\vec{H}$  auf Einstangentenvektor  $\vec{s}$  (also  $H_s$ ) in jedem Integrationspkt. konstant gesetzt werden und vor Integral gezogen werden, somit  
 $V = H_s \int ds = H_s \cdot 2\pi a \stackrel{!}{=} 0 \Rightarrow$  folgt:  $H_s = 0$

Außen: Feld von zylindrischen Linienleiter:  $\vec{H} = \frac{I}{2\pi a} \vec{e}_\alpha$

$\vec{B} = \mu_0 \frac{I}{2\pi a} \vec{e}_\alpha$

Kraft: Hälften müssen sich gegenseitig anziehen (Kraft zw. 2 gleichsinnig durchflossenen Leitern: anziehend)

vgl.: Zugkräfte entlang der magn. Flussdichtelinien  $\hat{=}$  Gummiringel rundherum

→  $\partial V_1$  um rechte Rohrhälfte: dicht knapp über Rand im Außenraum  
(Innen keine Kräfte weil kein Feld)

[man könnte auch  $\partial V_1 \rightarrow \infty$  gehen lassen und von  $a$  bis  $\infty$  entlang y-Achse integr.]

$\vec{F}_R = \int_{\partial V_1} \frac{1}{\mu_0} (\vec{n}_r \cdot \vec{B} \vec{B} - \frac{1}{2} B^2 \vec{n}_r) dA$

längenbezogen:  $\vec{F}'_R = \frac{1}{\mu_0} \left[ \underbrace{\vec{e}_y \cdot \vec{e}_y \vec{e}_\alpha}_{0} \left( \frac{\mu_0 I}{2\pi a} \right)^2 - \frac{1}{2} \left( \frac{\mu_0 I}{2\pi a} \right)^2 \vec{e}_y \right] \pi a = - \frac{\mu_0 I^2}{8\pi a} \vec{e}_y$

$-\vec{e}_y$  Richtung  $\hat{=}$  anziehend ✓

6  $\vec{E} = -\vec{\nabla}\varphi$ ,  $\vec{D} = \epsilon \vec{E}$ ,  $\vec{\nabla} \cdot \vec{D} = \rho$   
 $\vec{E} = E_x \vec{e}_x$ ,  $\vec{D} = D_x \vec{e}_x$

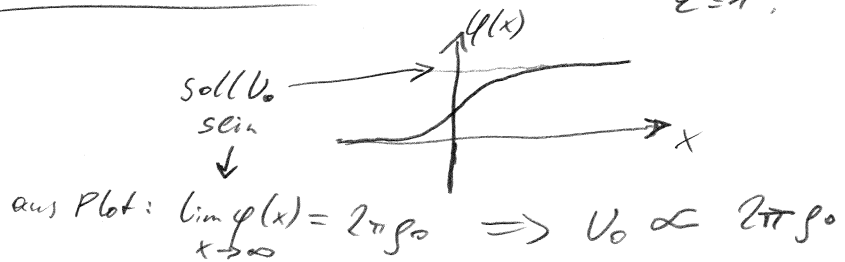
$$\partial_x D_x = \rho(x) \Rightarrow D_x = \int \rho(x) dx = \int 2\rho_0 \frac{\sinh(x/a)}{\cosh^2(x/a)} dx =$$

$$= -\frac{2\rho_0 a}{\cosh(x/a)} + C, \quad C = \text{const} = 0 \quad \text{o.B.d.A.}$$

$$\Rightarrow \vec{E} = -\vec{\nabla}\varphi \rightarrow \frac{\vec{D}}{\epsilon} = -\vec{\nabla}\varphi \rightarrow \frac{D_x}{\epsilon} = -\partial_x \varphi:$$

$$\varphi(x) = \frac{1}{\epsilon} \int \frac{2\rho_0 a}{\cosh(x/a)} dx = \frac{2\rho_0 a}{\epsilon} 2a \arctan(e^{x/a}) =$$

$$= \frac{4\rho_0 a^2}{\epsilon} \arctan(e^{x/a}) \Rightarrow \text{Plot z.B. mit } a=1, \epsilon=1;$$



7 = A 3.3.1

8 = A 4.2.8

Hinweis:  $\frac{1}{j\omega} \vec{\nabla} \times \vec{H} = \frac{1}{j\omega} \vec{\nabla} \times \text{Re} \left\{ \dots \right\} \vec{e}_y = \frac{1}{j\omega} \text{Re} \left\{ \vec{\nabla} \times \vec{H} e^{-x/\delta + j(\omega t - x/\delta)} \vec{e}_y \right\} =$

$$= \frac{1}{j\omega} \text{Re} \left\{ -\vec{e}_y \times \vec{\nabla} \vec{H} e^{-x/\delta + j(\omega t - x/\delta)} \right\} = \text{Re} \left\{ \frac{1}{j\omega} \left( -\frac{1}{\delta} - \frac{j}{\delta} \right) \vec{H} e^{-x/\delta + j(\omega t - x/\delta)} \right\} \vec{e}_x$$

bleibt nur  $\vec{e}_x$ -komponente über!

9 = A 5.2.3

10 allgemein:  $V(t) = U_1(t - \frac{\tau}{2}) + U_2(t + \frac{\tau}{2})$   
 $I(t) = I_1(t - \frac{\tau}{2}) + I_2(t + \frac{\tau}{2})$

$z=0: V(t) = U_1(t) + U_2(t)$

$$I(t) = I_1(t) + I_2(t) = \frac{U_1(t)}{Z_w} - \frac{U_2(t)}{Z_w} = \frac{2U_1(t)}{Z_w} - \frac{U(t)}{Z_w}$$

am Kondensator:  $I(t) = C \dot{U}(t)$

$$\rightarrow C \dot{U}(t) = \frac{2U_1(t)}{Z_w} - \frac{U(t)}{Z_w}$$

$$Z_w C \dot{U}(t) + U(t) = 2\hat{U}_1 \varepsilon(t)$$

$\hookrightarrow$  Lsg. der inhom. Diff'glg. 1. Ord.:  $U(t) = V_{\infty} (1 - e^{-t/\tau}) \varepsilon(t)$

mit  $V_{\infty} = 2\hat{U}_1$

$\tau = Z_w C$

$U_1(t) = Z_w I_1(t)$

$U_2(t) = -Z_w I_2(t)$

$U_1(t) = \hat{U}_1 \varepsilon(t) \rightarrow \text{lt. Angabe}$